

TD 1

Agitateur médical avec chambre de Riccordi – Sujet

CCP – PSI – 2006.

02 COR 03 COR

Présentation

Afin d'isoler des cellules issues du pancréas, il est nécessaire de les baigner dans un mélange d'enzymes tout en agitant la solution dans un milieu contrôlé en température. On utilise pour cela un agitateur médical avec chambre de Riccordi.

Objectif

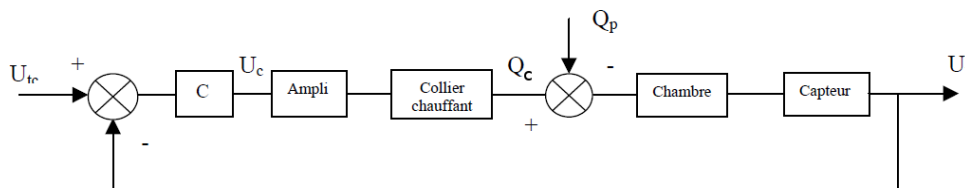
La maîtrise de la température joue un rôle crucial, l'objectif de notre étude est de réduire les temps de réaction et d'augmenter la précision en température du système de chauffage. Le cahier des charges est le suivant :

- ▶ temps de montée en température : 3 min maxi ;
- ▶ précision de la température : $\pm 0,5^\circ$ pour un échelon de 20° .

Nous utilisons pour chauffer la solution circulant dans la chambre, un collier chauffant situé sur le pourtour de la chambre, alimenté en tension par une unité comprenant un correcteur et un amplificateur.

On note :

- ▶ U_{tc} : tension de consigne ;
- ▶ U_t : tension à l'image de la température (capteur de température mesurant la température dans la chambre) ;
- ▶ U_a : tension d'alimentation du collier chauffant ;
- ▶ q_c : énergie calorifique fournie par le collier chauffant ;
- ▶ q_p : énergie calorifique perdue ou reçue par la chambre (en dehors du collier chauffant) perte par convection, par circulation de l'enzyme. Dans le cadre de cette étude **on néglige les pertes**.



Expérimentalement, on peut déterminer que $FTBO(p) = \frac{U_t(p)}{U_c(p)} = \frac{0,5}{(1 + 5p)(1 + 100p)}$.

Analyse des performances

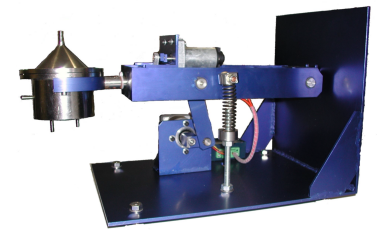
On considère ici que $C(p) = 1$. On donne l'abaque des temps de réponse réduit plus bas.

Question 1 Déterminer le temps de réponse à 5% du système régulé.

Question 2 Déterminer l'écart en position et l'écart en traînage.

Question 3 Justifier le tracé du diagramme de Bode de la FTBO non corrigée (figure 1)

Question 4 Déterminer la marge de gain et la marge de phase.



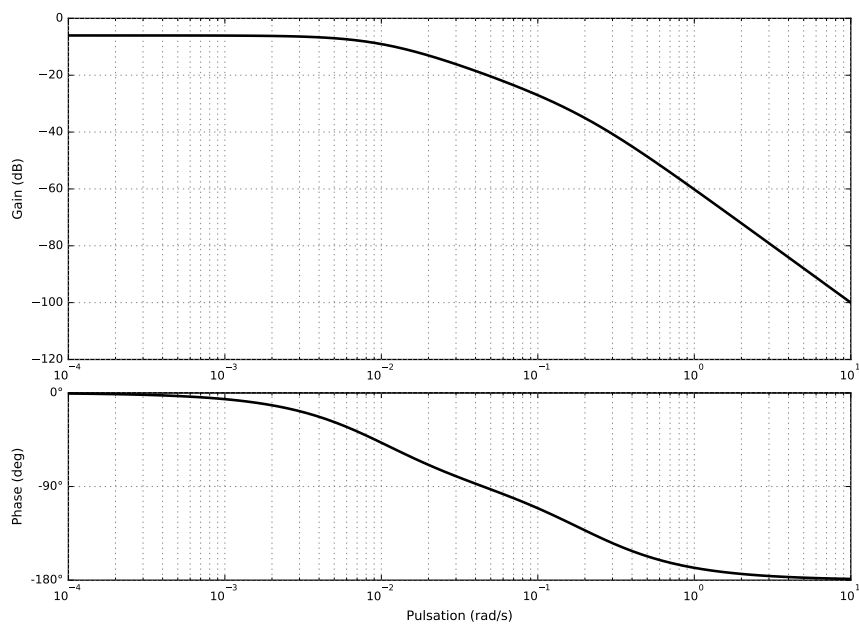


FIGURE 1 – Diagramme de Bode de la BO non corrigée

Mise en œuvre de corrections P et PI

On envisage une première correction en utilisant un correcteur proportionnel de la forme $C(p) = K$.

Question 5 Déterminer le gain K de manière à obtenir le système le plus rapide sans aucun dépassement.

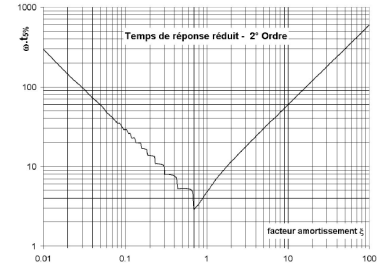
Question 6 En déduire le temps de réponse à 5%, l'écart en position et l'écart de traînage.

Question 7 Déterminez alors, la tension en sortie de l'amplificateur, si on envoie un échelon de tension de consigne U_{tc} de 5 V. Le gain de l'amplificateur étant de 10, critiquez vos résultats.

On souhaite maintenant corriger le système avec en utilisant une action proportionnelle intégrale $C(p) = \frac{K}{T_i p} (1 + T_i p)$. On utilise pour cela la méthode des compensation de pôles.

Question 8 Déterminer les gain K et T_i permettant d'assurer le non dépassement de la consigne ainsi que le temps de réponses du système.

Question 9 En déduire le nouvel écart de position.



TD 2

Machine de rééducation SysReeduc – Sujet

CCP PSI 2013.

Mise en situation

La machine de rééducation SYS-REEDUC est issue d'un projet régional entre différents laboratoires de recherche : le CReSTIC (Centre de Recherche en Sciences et Technologies de l'Information et de la Communication) de Reims et le CRITT-MDTS (Centre Régional d'Innovation et de Transfert de Technologie) de Charleville-Mézières. L'objectif de ce projet était de réaliser un système capable d'évaluer et d'aider à la rééducation des membres inférieurs.

C1-02

C2-04

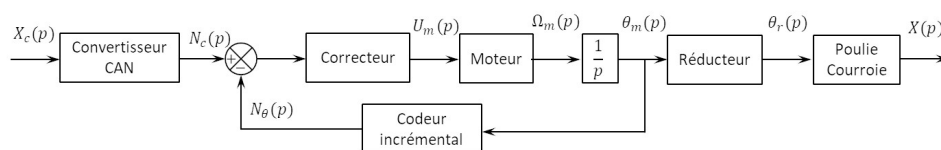
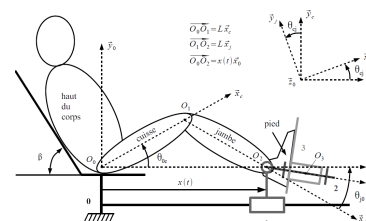
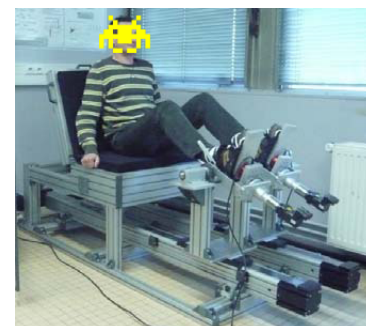
Objectif

L'objectif de cette partie est de modéliser l'asservissement du système, puis de paramétrer le correcteur pour répondre aux exigences.

Pour permettre au kinésithérapeute de rééduquer les membres inférieurs du patient, on doit respecter les exigences suivantes :

Critère	Niveau
Angle de rotation de la cuisse	De 0 à 150°
Effort du patient	Jusqu'à 20 N
Écart de position	Nul
Marge de gain	7 dB mini
Marge de phase	45°
Rapidité	$t_{5\%} < 0,2 \text{ s}$
Pulsation au gain unité	50 rad s^{-1}

La structure du schéma-blocs permettant l'asservissement du déplacement longitudinal du « chariot » (support mobile) est donnée dans la figure suivante.



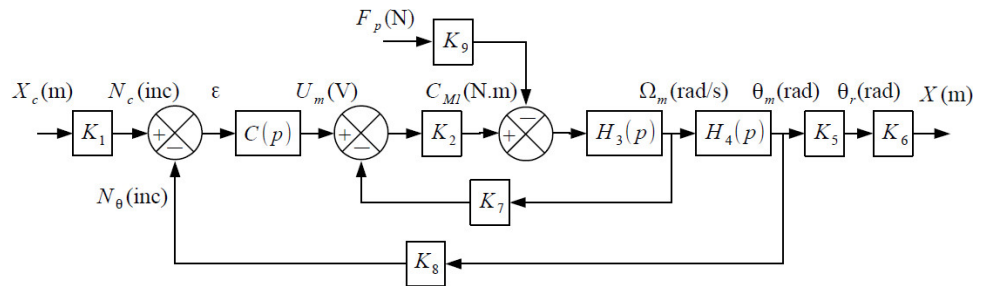
1: On peut passer directement à la question 3 pour aborder plus rapidement les correcteurs.

Le moteur à courant continu est régi par les équations suivantes :

- $u_m(t) = e(t) + Ri(t)$;
- $e(t) = k_e \omega_m(t)$;
- $C_{M1}(t) = k_t i(t)$.

Éléments de modélisation¹

On propose alors une modélisation par schéma-blocs dans la figure suivante.

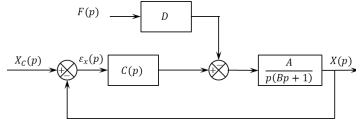


Une étude dynamique a mené à l'équation suivante :

$$(M + m) r \rho_1 \dot{\omega}_m(t) = \frac{C_{M1}(t)}{\rho_1 r} - F_p(t).$$

On note :

- M la masse du chariot et m la masse du support de pied ;
- $\rho_1 = \frac{1}{10}$ le rapport de réduction du réducteur ;
- $r = 46,1 \times 10^{-3}$ m le rayon de la poulie du transmetteur poulie-courroie ;
- $C_{M1}(t)$ le couple délivré par le moteur et $F_p(t)$ l'effort délivré par le patient sur le support 3.



Pour la suite du sujet on gardera les constantes A, B et D , avec $A = 6700$ m/V, $B = 0,01$ s et $D = 6$ V/N.

Le codeur incrémental possède 500 fentes équiréparties. Deux émetteurs-récepteurs positionnés en quadrature permettent de mesurer l'information.

Question 1 À partir des équations proposées, déterminer les fonctions de transfert $K_1, K_2, H_3(p), H_4(p), K_5, K_6, K_7, K_8$ et K_9 .

Correction proportionnelle

On utilise maintenant le schéma-bloc ci-contre. On suppose que $C(p) = K_c$.

Question 2 Exprimer ε_x en fonction des deux entrées F_p et X_c et des constantes A, B, D et K_c .

Question 3 Déterminer l'écart de position ε_x en réponse à deux échelons d'intensité F_0 pour la force du patient et X_0 pour le déplacement. Conclure quant au respect du cahier des charges.

Question 4 Tracer le diagramme de Bode de la FTBO du système pour $K_C = 1$ et donner les marges. Le cahier des charges est-il vérifié ?

Correction proportionnelle intégrale

On suppose maintenant que $C(p) = K_i \left(1 + \frac{1}{T_i p} \right)$

Question 5 Exprimer ε_x en fonction des deux entrées F_p et X_c et des constantes A, B, D et K_i .

Question 6 Déterminer l'écart de position ε_x en réponse à deux échelons d'intensité F_0 pour la force du patient et X_0 pour le déplacement. Conclure quant au respect du cahier des charges.

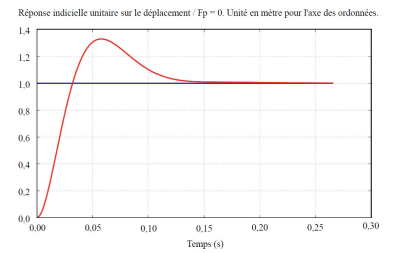
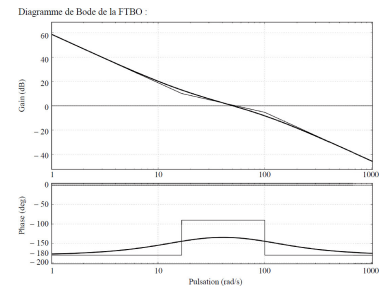
Question 7 Déterminer la fonction de transfert en boucle ouverte du système $FTBO(p) = \frac{X(p)}{\varepsilon_x(p)}$ en supposant que $F_p = 0$.

Question 8 Déterminer la valeur T_i permettant d'assurer la marge de phase pour la pulsation au gain unité souhaitée (pulsation pour laquelle le gain en décibel est nul).

Question 9 Déterminer K_i permettant d'assurer la pulsation au gain unité souhaitée.

On donne sur le document réponse la réponse temporelle du système à une entrée de type échelon unitaire sur le déplacement ($F_p = 0$) ainsi que le diagramme de Bode de la FTBO.

Question 10 Conclure quant au respect du cahier des charges sur le reste des critères énoncés. Faire apparaître sur le document réponse les grandeurs mesurées.



TD 3

Vanoise Express – Sujet

E3A – PSI – 2014.

02 COR 03 COR 04 COR

Présentation

Le téléphérique Vanoise Express relie les domaines skiables de La Plagne et Les Arcs. Dans ce qui suit, on désire respecter les critères suivants du cahier des charges partiel :

Exigences	Critère	Niveau
Contrôler l'énergie	Ecart statique en vitesse en présence d'une perturbation échelon	$\varepsilon_s = 0$
	Ecart de traînage (ou écart dynamique) en vitesse en l'absence de perturbations	$\varepsilon_v = 0$
	Marge de phase	$M\varphi \geq 45^\circ$
	Pulsation de coupure en boucle ouverte (pulsation pour laquelle le gain en boucle ouverte vaut 0dB)	$\omega_{0dB} \geq 1 \text{ rad/s}$

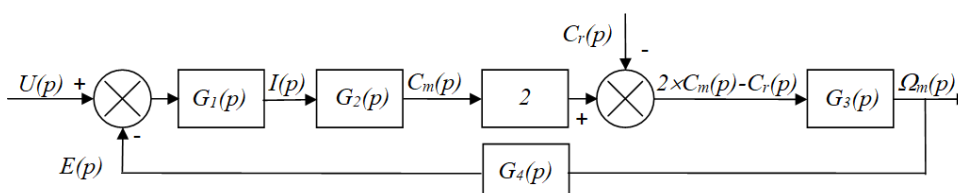


Modélisation du moteur à courant continu²

Hypothèses et données :

- ▶ on suppose les conditions initiales nulles ;
- ▶ les deux moteurs sont et fonctionnent de manière parfaitement identique ;
- ▶ $L = 0,59 \text{ mH}$ inductance d'un moteur ;
- ▶ $R = 0,0386 \Omega$ résistance interne d'un moteur ;
- ▶ $f = 6 \text{ N m s/rad}$ coefficient de frottement visqueux équivalent ramené sur l'axe des moteurs ;
- ▶ $J = 800 \text{ kg m}^2$ moment d'inertie total des pièces en rotation, ramené sur l'axe des moteurs ;
- ▶ $c_m(t) = k_T i(t)$ avec $k_T = 5,67 \text{ Nm/A}$ (constante de couple d'un moteur) ;
- ▶ $e(t) = k_E \omega_m(t)$ avec $k_E = 5,77 \text{ Vs/rad}$ (constante électrique d'un moteur) ;
- ▶ équations de la dynamique : $2c_m(t) - c_r(t) = J \frac{d\omega_m(t)}{dt} + f \omega_m(t)$;
- ▶ loi des mailles : $u(t) - e(t) = Ri(t) + L \frac{di(t)}{dt}$.

Question 1 Le schéma-blocs de la double motorisation étant fourni ci-après, déterminer les fonctions de transfert $G_1(p)$, $G_2(p)$, $G_3(p)$ et $G_4(p)$ écrites dans le domaine de Laplace.



Question 2 $\Omega_m(p)$ peut se mettre sous la forme : $\Omega_m(p) = F_1(p)U(p) - F_2(p)C_r(p)$. Exprimer les fonctions $F_1(p)$ et $F_2(p)$ en fonction de $G_1(p)$, $G_2(p)$, $G_3(p)$ et $G_4(p)$.

On donne les résultats d'une simulation réalisée sur l'ensemble de la motorisation, constituée des deux moteurs à courant continu :

2: On peut passer directement à la question 6 pour aborder plus rapidement les asservissements.

Notations :

- ▶ on notera $F(p)$ la transformée de Laplace d'une fonction du temps $f(t)$;
- ▶ $u(t)$ tension d'alimentation des moteurs ;
- ▶ $i(t)$ intensité traversant un moteur ;
- ▶ $e(t)$ force contre électromotrice d'un moteur ;
- ▶ $\omega_m(t)$ vitesse de rotation d'un moteur ;
- ▶ $c_m(t)$ couple d'un seul moteur ;
- ▶ $c_r(t)$ couple de perturbation engendré par le poids du téléphérique dans une pente et par l'action du vent, ramené sur l'axe des moteurs.

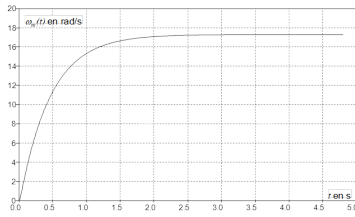


FIGURE 2 – Réponse en vitesse à un échelon de tension $u(t)$ d'amplitude 100 V.

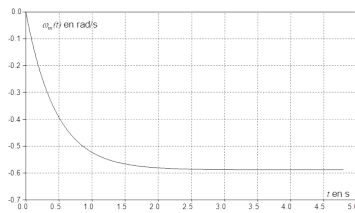
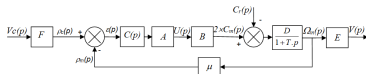


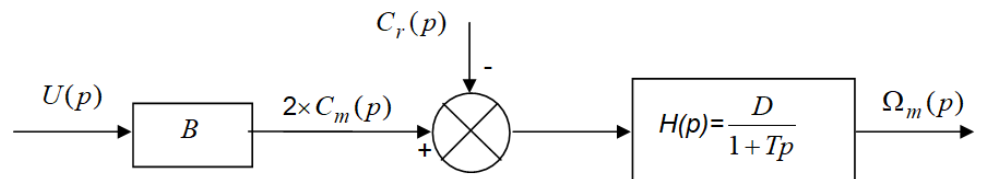
FIGURE 3 – Réponse en vitesse à un échelon de couple de perturbation $c_r(t)$ d'amplitude 1000 N m.



1. la première courbe représente la réponse en vitesse à un échelon de tension $u(t)$ d'amplitude 100 V (le couple de perturbation $c_r(t)$ est nul) ;
2. la seconde courbe représente la réponse en vitesse à un échelon de couple de perturbation $c_r(t)$ d'amplitude 1000 N m (la tension $u(t)$ est nulle).

Question 3 Choisir et justifier un modèle d'identification de ces fonctions (premier ordre, second ordre etc...). Déterminer numériquement les deux fonctions $F_1(p)$ et $F_2(p)$ par identification.

En faisant l'approximation que les deux fonctions $F_1(p)$ et $F_2(p)$ ont sensiblement le même dénominateur, le schéma-blocs ci-dessus peut se mettre sous la forme suivante :



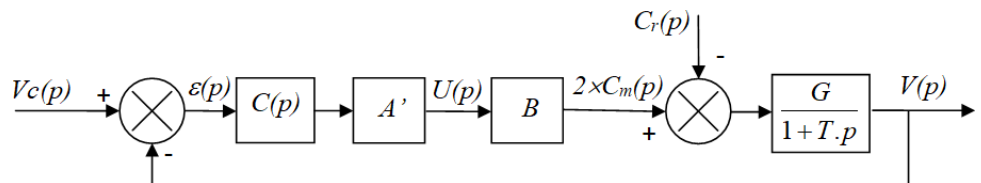
Question 4 Donner la valeur numérique des trois constantes B , D et T .

La motorisation modélisée ci-dessus est insérée dans une boucle d'asservissement de vitesse.

- La consigne de vitesse $v_c(t)$ est donnée en entrée. Elle est convertie en une tension $\rho_c(t)$ avec le gain F .
- Une génératrice tachymétrique de gain $\mu = 0,716$ V s/rad transforme la vitesse de rotation $\omega_m(t)$ du moteur en une tension $\rho_m(t)$.
- Un correcteur de fonction de transfert $C(p)$ corrige la différence $\varepsilon(t) = \rho_c(t) - \rho_m(t)$ et l'envoie à un amplificateur de gain A , qui alimente les deux moteurs électriques.
- La vitesse de rotation des moteurs $\omega_m(t)$ est transformée en vitesse du téléphérique $v(t)$ avec le gain $E = 0,1$ m (réducteur et rayon de la poulie).

Question 5 Déterminer l'expression du gain F pour que $\varepsilon(t) = 0$ entraîne $v_c(t) = v(t)$. Faire une application numérique.

Par transformation du schéma-blocs, le système est mis en retour unitaire. On obtient le résultat ci-dessous :



Les coefficients E et F calculés précédemment sont intégrés dans les nouveaux coefficients A' et G . Pour la suite, on continuera avec les valeurs suivantes : $A' \cdot B = 3 \cdot 10^4$ sN ; $G = 6 \cdot 10^{-5}$ m/(sNm) et $T = 0,47$ s.

On se propose de tester successivement 3 correcteurs, et de retenir celui qui permet de respecter le cahier des charges.

Utilisation d'un correcteur proportionnel

$$C(p) = C_0 = 1.$$

Question 6 Justifier en quelques mots que le système est stable avec ce correcteur.

Question 7 On suppose $C_r(p) = 0$. Calculer en fonction de C_0 , A' , B , G et V_0 l'expression de l'écart statique en suivi de consigne ε'_s engendré par une consigne en échelon d'amplitude $V_0 = 12$ m/s. Faire l'application numérique.

On suppose $V_c(p) = 0$.

Question 8 Calculer en fonction de C_0 , A' , B , G et C_{r0} l'expression de l'écart statique en régulation ε''_s engendré par une perturbation en échelon d'amplitude $C_{r0} = -7270$ Nm qui modéliserait la descente des Arcs. Faire l'application numérique.

Question 9 Faire également une application numérique si $C_{r0} = 7460$ Nm qui modéliserait la montée vers La Plagne.

Question 10 Donner numériquement l'écart statique total $\varepsilon_s = \varepsilon'_s + \varepsilon''_s$ dans les deux cas suivants : descente des Arcs et montée vers La Plagne.

Question 11 Existe-t-il une valeur réaliste de C_0 pour laquelle le critère « Écart statique en vitesse en présence d'une perturbation échelon » serait vérifié? Justifier.

Utilisation d'un correcteur intégral

On choisit maintenant le correcteur $C(p) = \frac{C_i}{p}$.

Question 12 Donner l'expression de la fonction de transfert en boucle ouverte du système, notée $FTBO(p)$. Faire l'application numérique pour $C_i = 1$.

Question 13 Tracer le diagramme asymptotique de Bode de $FTBO(p)$. Tracer également l'allure des courbes. Voir figure 4

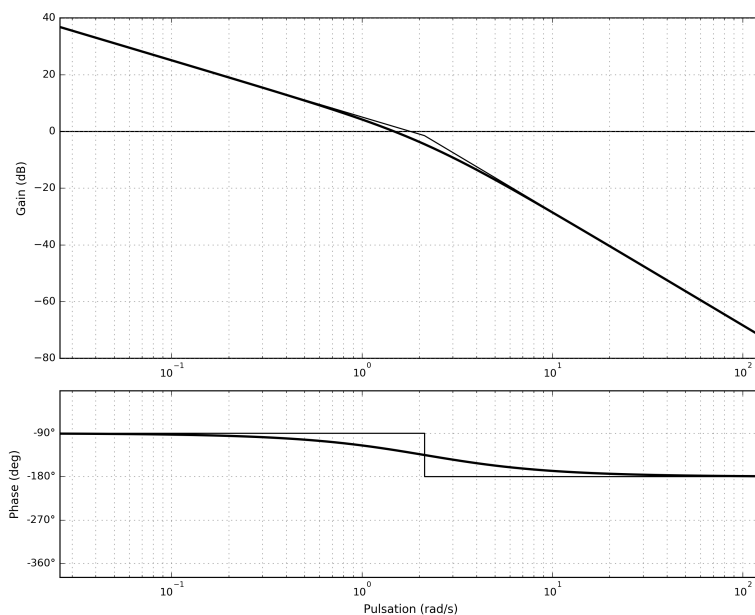


FIGURE 4 – Diagramme de Bode correspondant à la question 13 ($C_i = 1$).

Question 14 Donner la valeur maximale de C_i permettant de respecter le critère de « Marge de phase » du cahier des charges ?

Question 15 Trouver la valeur minimale de C_i permettant de respecter le critère de « Pulsation de coupure en boucle ouverte » du cahier des charges ? Justifier.

Question 16 On suppose $C_r(p)=0$. Calculer numériquement l'écart statique en suivi de consigne ε'_s engendré par une consigne en échelon d'amplitude $V_0 = 12 \text{ m/s}$.

Question 17 On suppose $V_c(p) = 0$. Calculer numériquement l'écart statique en régulation ε''_s engendré par une perturbation échelon d'amplitude $C_{r0} = -7270 \text{ N m}$ qui modéliserait la descente des « Arcs ».

Question 18 Donner numériquement l'écart statique total $\varepsilon_s = \varepsilon'_s + \varepsilon''_s$. Le critère « Écart statique en vitesse en présence d'une perturbations échelon » est-il vérifié ? Justifier.

On suppose $C_r(p) = 0$.

Question 19 Calculer l'expression de l'écart de traînage ε_v engendré par une consigne en rampe unitaire. Existe-t-il une valeur de réaliste qui permette de vérifier le critère « Écart de traînage (ou écart dynamique) en vitesse en l'absence de perturbations » ? Justifier.

Utilisation d'un double correcteur intégral et d'un correcteur à avance de phase

On décide d'utiliser le correcteur $C(p) = C_a(p) \frac{1}{p^2}$, produit de la fonction $C_a(p) = K \frac{1 + a\tau p}{1 + \tau p}$ avec $a > 1$ (correcteur dont la fonction est d'ajouter de la phase) et d'un double intégrateur. On donne figure 5 le diagramme de Bode de la fonction $H(p) = \frac{A'BG}{p^2(1 + Tp)}$, qui est la fonction de transfert en boucle ouverte du système sans $C_a(p)$ (c'est-à-dire pour $C_a(p) = 1$).

Question 20 Montrer que le système n'est pas stable sans la fonction $C_a(p)$?

La fonction $C_a(p)$ va nous permettre de stabiliser le système et de respecter les critères de « Marge de phase » et de « Pulsation de coupure en boucle ouverte ». Pour cela, il faut suivre la démarche suivante.

Question 21 Combien de degrés de phase faut-il ajouter à la pulsation 1 rad/s pour obtenir une phase de -135° ?

Question 22 Tracer en fonction de a , τ et K les diagrammes asymptotiques de Bode (amplitude et phase) du correcteur $C_a(p) = K \frac{1 + a\tau p}{1 + \tau p}$ avec $a > 1$. Préciser clairement les amplitudes ou les phases de toutes les asymptotes horizontales en fonction des différents paramètres. Préciser de même les pulsations des points particuliers.

Question 23 La phase maximum φ_{\max} ajoutée par $C_a(p)$ peut être calculée par la formule : $\sin \varphi_{\max} = \frac{a-1}{a+1}$. Calculer numériquement a pour obtenir la remontée de phase déterminée sur le diagramme de Bode précédemment.

Pour cette question, on pourra utiliser les propriétés de symétrie de la courbe de phase.

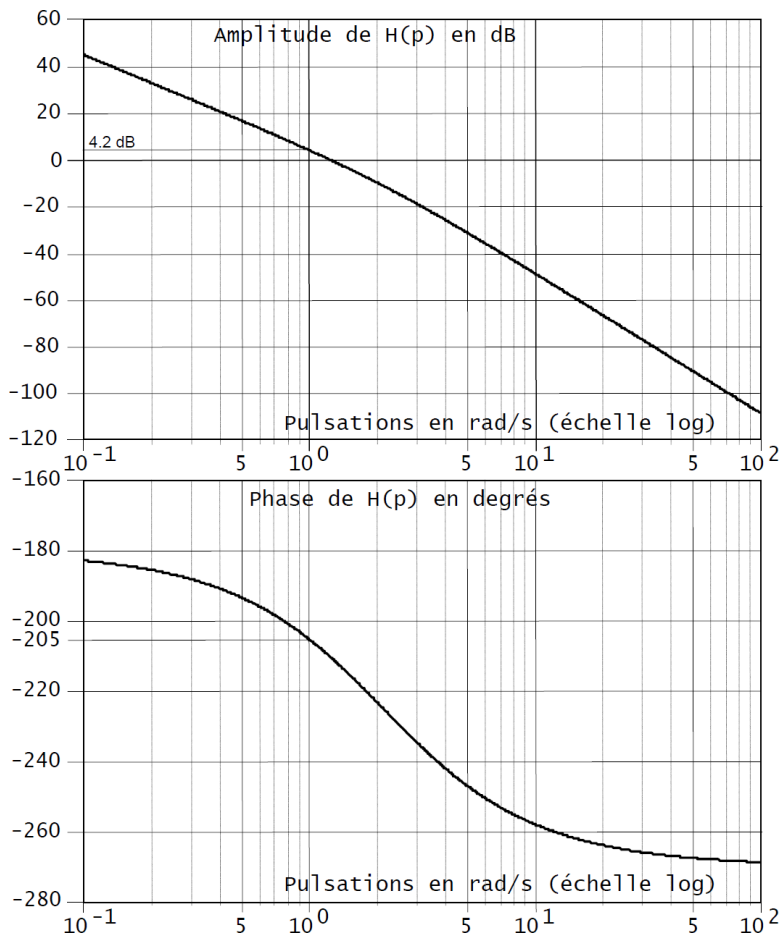


FIGURE 5 – Diagramme de Bode de la fonction $H(p) = \frac{A'BG}{p^2(1 + Tp)}$

Question 24 Donner l'expression en fonction de a et τ de la pulsation ω pour laquelle la courbe de phase atteint son maximum.

Question 25 En déduire la valeur numérique de τ pour que φ_{\max} soit ajoutée à la pulsation 1 rad/s.

Question 26 Calculer numériquement la valeur à donner à K pour respecter les critères de « Marge de phase » et de « Pulsation de coupure en boucle ouverte » du cahier des charges? Préciser la démarche utilisée.

Question 27 Les critères « Écart statique en vitesse en présence d'une perturbation échelon » et « Écart de traînage (ou écart dynamique) en vitesse en l'absence de perturbations » sont-ils vérifiés? Justifier.

Question 28 Ce correcteur permet-il de vérifier les critères du cahier des charges? Justifier.

